

بررسی عددی شتاب الکترون در یک کanal یونی به وسیله موج پلاسمای مغناطیسی

آمنه کارگریان، حسن مهدیان و علی حسن بیگی

پژوهشگاه پلاسمای دانشگاه خوارزمی، تهران

(دریافت مقاله: ۱۳۹۲/۱۰/۱۹؛ دریافت نسخه نهایی: ۱۳۹۳/۱/۱۸)

چکیده

در این مقاله شتاب الکترون در یک کanal یونی با استفاده از پلاسمای مغناطیسی مطالعه شده است. با استفاده از معادلات لورنتس سه بعدی، دینامیک الکترون مورد بررسی قرار گرفته و برای به دست آوردن مسیر الکترون از یک کد تک ذره سه بعدی نسبیتی استفاده شده است. نتایج محاسبات عددی نشان می‌دهد الکترون در یک کanal یونی تحت اثر میدان خارجی شتاب می‌گیرد. همچنین میزان انرژی که الکترون در حضور میدان مغناطیسی خارجی کسب کرده است، با انرژی آن در غیاب میدان مقایسه شده است.

واژه‌های کلیدی: برهم‌کنش لیزر با پلاسمای کanal یونی، موج پلاسمایی

۱. مقدمه

دوبلری موج پلاسمای دو برابر فرکانس بتاترونی باشد نیز الکترون‌ها با سرعت کم مقدار قابل توجهی انرژی از طریق تابش بتاترونی به دست می‌آورند، [۶-۸]. تشدید چرینکوف، به خوبی تشدید بتاترونی الکترون‌ها را شتاب می‌دهد، اما این دو رژیم اساساً با یکدیگر متفاوت می‌باشند، هنگامی که سرعت فاز موج نزدیک به سرعت الکترون باشد. تابش چرینکوف بر اساس شتاب الکترون در اثر برهم‌کنش آنها با امواج الکترومغناطیسی می‌باشد، در صورتی که شتاب بتاترونی برای الکترون‌های کند اتفاق می‌افتد. به طور کلی شتاب گرفتن الکترون‌های کند یک فرآیند دو مرحله‌ای می‌باشد؛ ابتدا الکترون‌های کند توسط تابش بتاترونی به سرعت‌هایی به اندازه کافی بالا شتاب داده می‌شوند، سپس این الکترون‌ها از موج

با شکل‌گیری کanal یونی، الکترون‌های باریکه به وسیله یون‌های مثبت جذب می‌شوند. علاوه بر این یک تپ لیزری قوی می‌تواند یک کanal یونی ایجاد کند. هنگامی که تپ در پلاسمای منتشر می‌شود، نیروی پاندرمتیو شعاعی لیزر الکترون‌ها را دور کرده و یک کanal یونی شکل می‌گیرد [۵-۱]. نیروی پاندرمتیو محوری الکترون‌های پلاسمای دسته کرده و یک موج پلاسمایی پشت تپ لیزر تولید می‌شود. این موج تولید شده می‌تواند الکترون‌های پلاسمای دام بیاندازد. با انتشار موج در پلاسمای، الکترون‌هایی که سرعتی برابر با سرعت موج دارند همرا با موج حرکت کرده و به طور مؤثر با آن مبادله انرژی نمایند. در یک کanal یونی، هنگامی که فرکانس جابه‌جا

$$\frac{dp_z}{dt} = -eA \exp(-(x^2 + y^2) / r_p^2) \times \cos(\omega t - kz + \theta), \quad (6)$$

$$\begin{aligned} \frac{d\gamma}{dt} &= \frac{-eA}{m_0 c^2} v_z \exp(-(x^2 + y^2) / r_p^2) \\ &\times \cos(\omega t - kz + \theta) - \frac{eAv_x}{m_0 c^2} \exp(-(x^2 + y^2) / r_p^2) \\ &\times \sin(\omega t - kz + \theta) - \frac{eAv_y}{m_0 c^2} \exp(-(x^2 + y^2) / r_p^2) \\ &\times \sin(\omega t - kz + \theta) - e\varphi_0 \frac{2xv_x}{m_0 c^2 r_0^2} - e\varphi_0 \frac{2yv_y}{m_0 c^2 r_0^2}, \end{aligned} \quad (7)$$

که در آن عامل نسبیتی لورنتس به صورت زیر می‌باشد:

$$\gamma = (1 + \frac{x^2 + y^2 + z^2}{m_0^2 c^2}). \quad (8)$$

به منظور تبدیل معادلات بالا به شکل ساده‌تر پارامترهای بدون $k' = kc / \omega$, $t' = \omega t$, $x' = kx$, $r_2^2 = k^2 r_p^2$, $r_1^2 = k^2 r_0^2$, $z' = kz$, $a_p = eA / m_0 \omega c$, $\mathbf{p}' = \mathbf{p} / mc$ و $\omega c = eB_0 / m_0 \omega c$, $\varphi'_0 = e\varphi_0 / m_0 c^2$ بعد را تعریف می‌کنیم:

با استفاده از این پارامترها معادلات (۶) تا (۷) به صورت زیر خواهند بود:

$$\begin{aligned} \frac{dp'_x}{dt'} &= -a_p \exp(-(x'^2 + y'^2) / r_2^2) \frac{2x'}{kr_2^2} \\ &\times \sin(t' - z' + \theta) - k'\varphi'_0 \frac{2x'}{r_1^2} - \frac{ep'_y \omega_c}{\gamma}, \end{aligned} \quad (9)$$

$$\begin{aligned} \frac{dp'_y}{dt'} &= -a_p \exp(-(x'^2 + y'^2) / r_2^2) \frac{2x'}{kr_2^2} \\ &\times \sin(t' - z' + \theta) - k'\varphi'_0 \frac{2y'}{r_1^2} + \frac{p'_x \omega c}{\gamma}, \end{aligned} \quad (10)$$

$$\frac{dp'_z}{dt'} = -a_p \exp(-(x'^2 + y'^2) / r_2^2) \cos(t' - z' + \theta), \quad (11)$$

$$\begin{aligned} \frac{d\gamma}{dt'} &= \frac{-a_p p'_z}{\gamma} \exp(-(x'^2 + y'^2) / r_2^2) \frac{2x'}{kr_2^2} \\ &\times \cos(t' - z' + \theta) - \frac{a_p}{\gamma} p'_x \exp(-(x'^2 + y'^2) / r_2^2) \\ &\times \sin(t' - z' + \theta) - \frac{a_p}{\gamma} p'_y \exp(-(x'^2 + y'^2) / r_2^2) \\ &\times \sin(t' - z' + \theta) - k'\varphi'_0 \frac{2p'_x x'}{\gamma r_1^2} - k'\varphi'_0 \frac{2p'_y y'}{\gamma r_1^2}. \end{aligned} \quad (12)$$

پلاسمای انرژی گرفته و می‌توانند از طریق تابش چرینکوف به انرژی‌های بالاتر شتاب داده شوند [۱۱-۹]. در این مقاله اثرات میدان مغناطیسی خارجی بر روی شتاب الکترون در یک کانال یونی بررسی شده است. در بخش دوم مقاله معادلات مربوط به حرکت یک الکtron در حضور یک میدان مغناطیسی محوری، موج پلاسمای و بار فضایی یون به دست آورده شده‌اند. بخش سوم به آنالیز عددی، بحث و نتیجه‌گیری اختصاص شده است.

۲. بررسی نسبیتی

در بررسی حاضر فرض می‌کنیم الکترون تحت تأثیر موج پلاسمای بار فضایی و یک میدان خارجی در راستای محوری قرار گرفته است. معادلات حرکت الکترون به صورت زیر می‌باشند:

$$\frac{d\mathbf{p}}{dt} = -e\mathbf{E} + e\nabla\varphi + \frac{\mathbf{V} \times \mathbf{B}}{C}, \quad (1)$$

$$\frac{d\gamma}{dt} = \frac{-e}{m_0 C^2} (\mathbf{E} - \nabla\varphi) \cdot \mathbf{V}, \quad (2)$$

که در این روابط B میدان خارجی و $\varphi = \varphi_0(1 - (x^2 + y^2) / r_0^2)$ میدان بار فضایی یون می‌باشد.

میدان الکتریکی موج پلاسمای را به صورت زیر در نظر می‌گیریم [۱۲]:

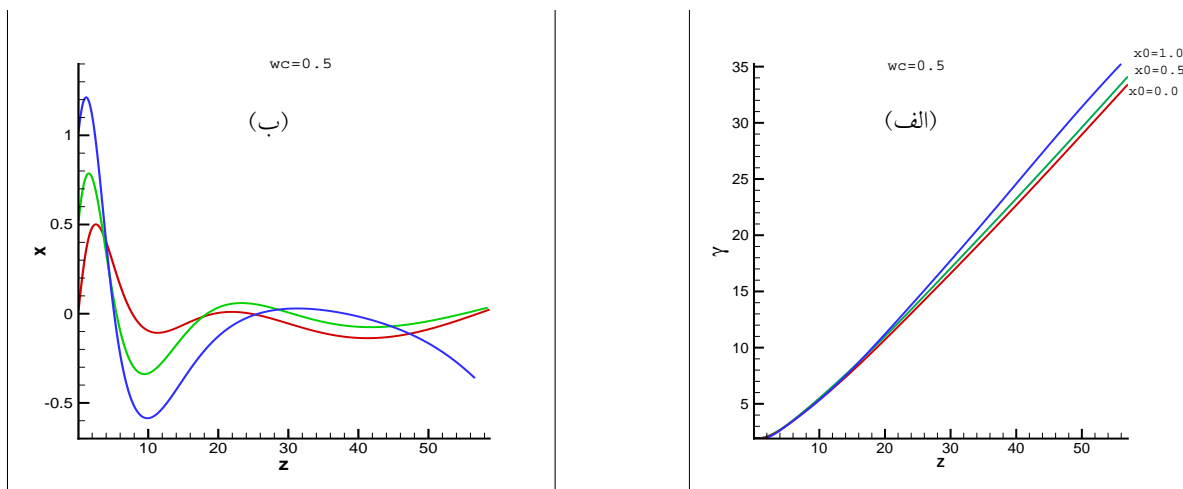
$$\begin{aligned} \mathbf{E} &= \hat{x} A \exp(-(x^2 + y^2) / r_p^2) \frac{2x}{kr_p^2} \\ &\times \sin(\omega t - kz + \theta) + \hat{y} A \exp(-(x^2 + y^2) / r_p^2) \frac{2y}{kr_p^2} \\ &\times \sin(\omega t - kz + \theta) + \hat{z} A \exp(-(x^2 + y^2) / r_p^2) \\ &\times \cos(\omega t - kz + \theta). \end{aligned} \quad (3)$$

جایی که r_p شعاع موج رد پا^۱ و θ زاویه فاز اولیه می‌باشد. با جایگذاری در معادلات (۱) و (۲) داریم:

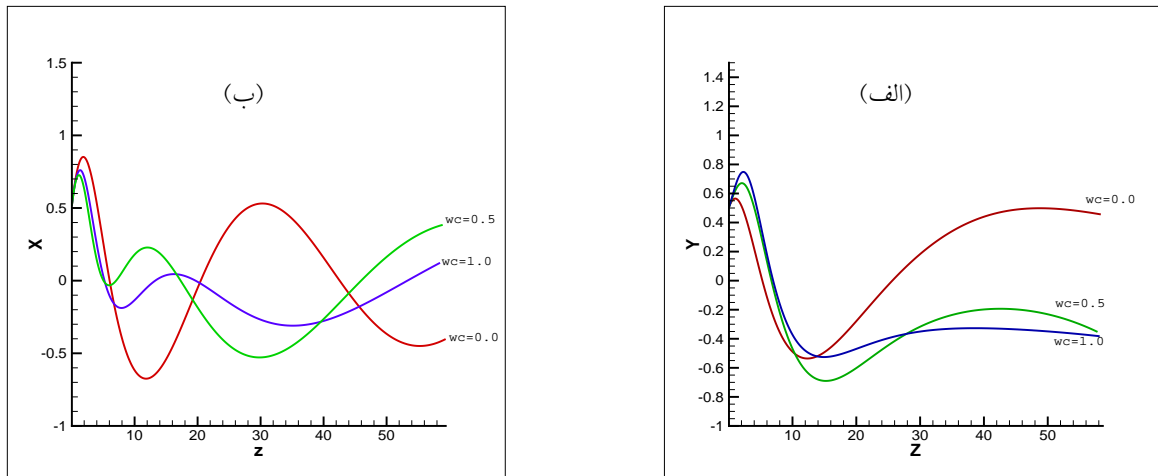
$$\begin{aligned} \frac{dp_x}{dt} &= -eA \exp(-(x^2 + y^2) / r_p^2) \frac{2x}{kr_p^2} \\ &\times \sin(\omega t - kz + \theta) - e\varphi_0 \frac{2x}{r_0^2} - \frac{eV_y B_0}{c}, \end{aligned} \quad (4)$$

$$\begin{aligned} \frac{dp_y}{dt} &= -eA \exp(-(x^2 + y^2) / r_p^2) \frac{2x}{kr_p^2} \\ &\times \sin(\omega t - kz + \theta) - e\varphi_0 \frac{2y}{r_0^2} + \frac{eV_x B_0}{c}, \end{aligned} \quad (5)$$

^۱. wakefield



شکل ۱. (رنگی در نسخه الکترونیکی) (الف) مسیر الکترون بر حسب z برای z در مقادیر مختلف میدان مغناطیسی $wc = 0, 0.5, 1$. (ب) انزای الکترون بر حسب z برای پارامترهای مشابه با شکل (الف).



شکل ۲. (رنگی در نسخه الکترونیکی) (الف) مسیر الکترون در صفحه z - x برای مقادیر مختلف میدان مغناطیسی $wc = 0.0, 0.5, 1$. (ب) مسیر الکترون در صفحه z - y برای مقادیر مختلف میدان مغناطیسی سایر پارامترها مشابه با شکل (الف) می‌باشدند.

پلاسمای نوسانات الکترون کاملاً سینوسی نمی‌باشدند. علاوه بر این با افزایش فاصله عمودی x_0 از محور z دامنه نوسانات افزایش می‌یابد. شکل ۱ (ب) نمودار انزای الکترون بر حسب z در سه موقعیت اولیه (x_0) متفاوت الکترون را نشان می‌دهد. با توجه به این شکل با افزایش x_0 انزای الکترون افزایش می‌یابد. به عبارتی دیگر انزای به دست آمده توسط الکترون در $x_0 = 1$ بیشتر از $x_0 = 0$ می‌باشد، که این به دلیل افزایش اثرات بار فضایی یون می‌باشد که در فواصل بیشتر از محور z افزایش می‌یابد.

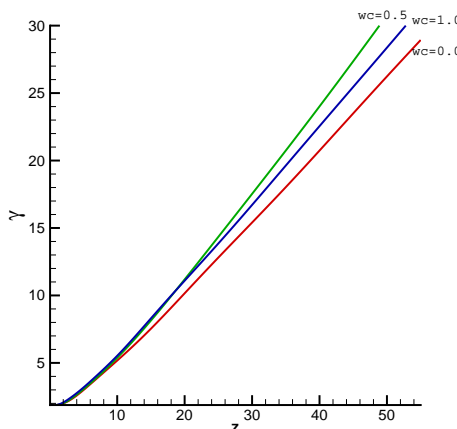
در شکل ۲ (الف) مسیر در صفحه z - x برای مقادیر متفاوت میدان مغناطیسی نشان داده شده است. همان طور که

معادلات بهنجار شده به دست آمده با استفاده از روش‌های عددی قابل تجزیه و تحلیل می‌باشدند.

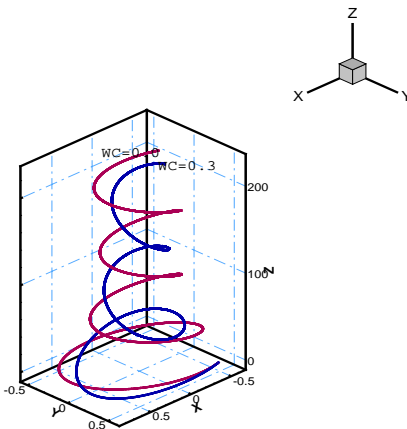
۳. بحث و نتیجه‌گیری

در این بخش نتایج مربوط به حل عددی معادلات (۹) تا (۱۲) به منظور بررسی اثرات میدان مغناطیسی استاتیک یکنواخت و میدان بار فضایی یون بر روی شتاب الکترون بیان شده است.

معادلات برای پارامترهای مشخص $wc = 0.5$, $\varphi_0 = 0.6$, $a_p = 0.8$, $r_2 = 4$, $\eta = 2$, $\theta = \pi/2$, $k = 1.02$ حل شده‌اند. شکل ۱ (الف) که برای $\omega_c = 0.5$ رسم شده است، نشان می‌دهد در حضور موج



شکل ۴. (رنگی در نسخه الکترونیکی) مسیر الکترون بر حسب z برای مقادیر متفاوت میدان مغناطیسی، سایر پارامترها $a_p = 0/8$ ، $\omega_c = 0/3$ و $\omega_0 = 0/6$ ، $\theta = \pi/2$ ، $k = 1/02$ ، $\eta = 2$ می‌باشدند.

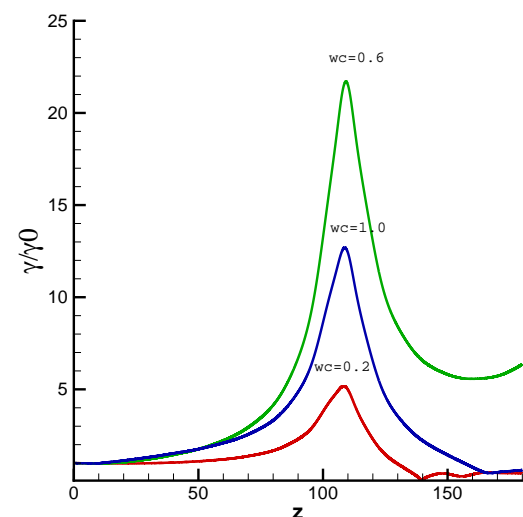


شکل ۳. (رنگی در نسخه الکترونیکی) مسیر الکترون در سه بعد برای مقادیر $\omega_c = 0$ و $\omega_0 = 0/6$ ، سایر پارامترها $a_p = 0/8$ ، $\theta = \pi/2$ ، $k = 1/02$ می‌باشدند.

کرده و انرژی لیزر را جذب می‌کند. مطابق شکل دامنه نوسانات الکترون در $\omega_c = 0/3$ کمتر از $\omega_c = 0$ می‌باشد.

شکل ۴ نمودار انرژی الکترون در مقادیر متفاوت میدان مغناطیسی را نشان می‌دهد. نمودارها نشان می‌دهند، انرژی الکترون در $\omega_c = 0/5$ بیشتر از $\omega_c = 1$ می‌باشد، بنابراین یک مقدار بهینه برای میدان مغناطیسی وجود دارد. نتایج عددی نشان می‌دهند بیشینه مقدار انرژی در $\omega_c = 0/65$ می‌باشد.

برای بررسی بیشتر اثرات میدان مغناطیسی پارامتر دیگر به صورت $\Delta = \gamma_0 / \gamma$ معرفی می‌کنیم که نسبت انرژی الکترون در حضور میدان مغناطیسی به انرژی الکترون در غیاب میدان مغناطیسی را نشان می‌دهد. در شکل ۵ نمودار Δ بر حسب مقادیر مختلف ω_c رسم شده است. نمودارها برای مقادیر $\omega_c = 0/2$ تا $\omega_c = 1$ نشان داده شده‌اند. به طور کلی با افزایش ω_c نمودارها به مقدار بیشینه خود رسیده و سپس کاهش می‌یابند. با تغییر میدان مغناطیسی مقدار بیشینه Δ نیز تغییر می‌کند و مقدار این بیشینه‌ها برای هر سه نمودار در یک زیکسان اتفاق می‌افتد. نمودارهای رسم شده نشان می‌دهند مقدار Δ بزرگ‌تر از یک می‌باشد، بنابراین با افزایش شدت میدان مغناطیسی، انرژی الکترون افزایش می‌یابد.



شکل ۵. (رنگی در نسخه الکترونیکی) نمودار $\Delta = \gamma_0 / \gamma$ بر حسب z برای مقادیر متفاوت میدان مغناطیسی، سایر پارامترها مشابه شکل ۲ می‌باشدند.

انتظار می‌رود، با افزایش میدان مغناطیسی مسیر الکترون فشرده‌تر می‌شود، به عبارتی دیگر دامنه نوسانات الکترون متناسب با معکوس شدت میدان مغناطیسی می‌باشد. در شکل ۲ (ب) نتایج مشابهی برای مسیر الکترون در صفحه $z-y$ نشان داده شده است.

شکل ۳ مسیر الکترون در سه بعد را برای $\omega_c = 0$ و $\omega_c = 0/3$ نشان می‌دهد. الکترون حول مسیر انتشار لیزر حرکت

مراجع

7. F S Tsung, R Narang, W B Mori, C Joshi, R A Fonseca, and L O Silva, *Phys. Rev. Lett.* **93** (2004) 185002.
8. S Fritzler *et. al.*, *Phys. Rev. Lett.* **29** (2004) 165006.
9. I Blumenfeld *et. al.*, *Nature* **445** (2007) 741.
10. T P Rowlands-Rees, C Kamperidis, S Kneip, and A J Gonsalves, *Phys. Rev. Lett.* **100** (2008) 105005.
11. S Kumar and M Yoon, *J. Appl. Phys.* **104** (2008) 073303.
12. N Kumar and V K Tripathi, *Europhys. Lett.* **75** (2006) 260.
1. E Esarey, B A Shedwick, P Catravas, and W P Leemans, *Phys. Rev. E* **65** (2002) 056505.
2. C OConnell *et. al.*, *Phys. Rev. ST Accel. Beams* **5** (2002) 121301.
3. U H Hwang, H Mehdian, J E Willett, and Y M Aktas, *Phys. Plasmas* **9** (2002) 1010.
4. H Mehdian, A Hasanbeigi, and S Jafari, *Phys. Plasmas* **17** (2010) 023112.
5. H Mehdian and A Raghavi, *Phys. Plasmas Control Fusion* **49** (2007) 69.
6. P Jha and P Kumar, *IEEE Trans. Plasma Sci.* **24** (1996) 1359.